

金屬磨削原理與磨床

徐康林編著

中國科學圖書儀器公司
出 版

零 件 磨 削 后 表 面 质 量 的 研 究

(譯 文 集)

[苏联] A. B. 波德杰、B. E. 罗金诺夫、H. H. 諾維柯夫、
Г. З. 賽列布連尼柯夫合著

周澤、劉騰校



國防工業出版社

零件磨削后表面质量的研究
(译文集)

禹绍周译，刘 鹏校

*

国防工业出版社出版

北京市书刊出版业营业登记证字第074号

新华书店北京发行所发行 各地新华书店经售

国防工业出版社印刷厂印装

*

787×1092 1/32 印张 1 9/16 32千字

1964年9月第一版 1964年9月第一次印刷 印数：1,001—5,450册

统一书号：15034·768 定价：(科八-1) 0.30元

序 言

零件冷加工时产生发热現象，特別是磨削加工是产生高溫的冷加工工序之一，对零件的表面质量是起着决定性的影响。因为在磨削时，由于选用的工艺参数或切削用量不妥，使磨削后的零件表面产生裂紋、变形或翹曲等缺陷，結果使用寿命縮短。所以，产生这些不良現象，其根本原因，是零件磨削加工后，表面受到高溫的影响，形成了殘余应力。因此，如何选用最恰当的工艺参数，如何避免或減少，甚至消除加工后零件表面上所呈現的殘余应力，就成了精密零件生产中急待解决的問題。

目前国外对加工过程所产生的热現象和伴随而来的殘余应力的研究，已得出不少有益的結論。研究工作从理論分析和實驗两方面同时进行，可以使人們認識到在不同的工艺参数和不同的生产条件下，零件經過加工后，表面产生不同溫度和不同殘余应力，从而找出規律，改善零件的表面质量，以控制殘余应力。

本书选自近几年来苏联“机床与工具”杂志中所发表的有关这方面的七篇論文，希望通过本书使广大工艺师和科学研 究工作者对冷加工中的热現象引起相应的注意。帮助讀者能将本书中闡明的理論和一些工程計算方法直接用于生产和科学的研究，以提高产品质量。

目 录

| | |
|--------------------------|----|
| 序言 | 3 |
| 平磨时传入零件热量的确定 | 5 |
| 平磨时被加工金属内的温度场 | 9 |
| 研究温度场时热电偶电极的固定方法 | 16 |
| 快速冷却时平板和衬套内残余应力的确定 | 20 |
| 残余应力的应变测定法 | 29 |
| 切削力的应变测定法 | 38 |
| 用热模拟法对磨削时残余应力的研究 | 44 |

平磨时传入零件热量的确定

A. B. 波德杰、B. E. 罗金諾夫、H. H. 諾維柯夫

由切削区传入零件的热量取决于材料的热物理参数。例如，在加工导热性高的材料时，由于传入零件体的热量较多，这就使得被加工表面的尺寸和形状产生很大的误差。在加工导热性低的耐热合金时，由于传入零件体的热量较少，所以会使表面层产生很大的热应力和组织变化。

为了研究磨削时的内应力和热变形，必须确定零件内部的温度场。目前，这项工作只能用实验的方法，即采用测热法来完成[●]。

对进行上述工作而言，目前已知的测热器的结构都很少适用。因为切削过程是在测热器的外部进行的，而在测热器中装置零件时，又会产生无法计算的热量损失。

为了确定在平磨时传入零件的热量，采用了专门的测热设备。该设备上有一个夹具，它将试样直接固定在液体槽中，并进行定位（见图1）。

该夹具是由两个带垂直槽的支柱1构成的。利用角形件9将试样2以水平状态（I）装在垂直槽内。试样用两个顶紧螺钉3定位到工作状态I。这两个螺钉利用带凸部5的拉杆4联结在一起。当夹紧装置移动到位置II时，试样被卸开，

● 本文发表于1957年，现在还可以用解析计算方法求得。——译者

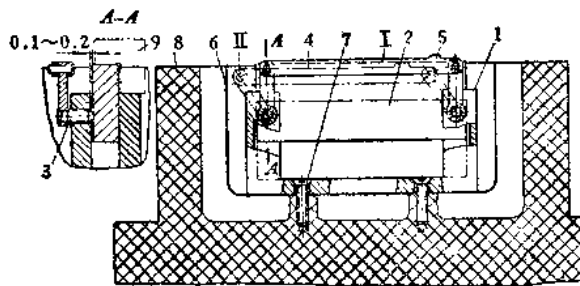


图 1

并落于测热器中。

将带支柱的夹具置于黄铜测热容器 6 中，并用螺钉 7 将其固定在笨重的胶木壳体 8 的凸台上。测热器容器壁和壳体内表面之间的距离约为 15 毫米。

测热设备的外观示于图 2。该设备上装有一个支臂 1（固定在机床的主轴箱上）。在磨削过程终了时，利用此支臂使测热器盖子 2 盖住测热器，并使夹具（图 1）的夹紧装置移至位置 II。

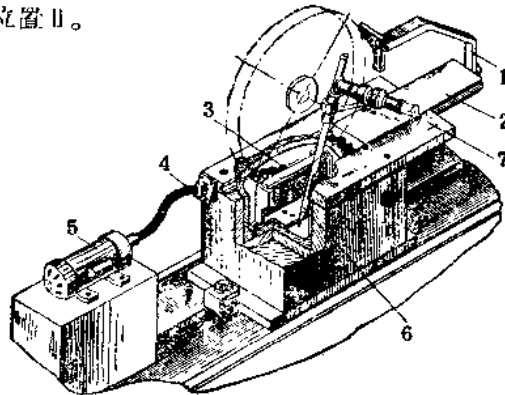


图 2

测热器内的液体用搅拌器 3 搅拌。搅拌器用功率为 120 瓦

特的电动机 5 通过軟軸 4 带轉 液体的溫度用水銀溫度計 6 测量 溫度計的讀数由准确度为 0.01° 的显微鏡 7 示出

利用此设备曾对 3H437 合金及 45 号、16X15、18X18A 和 30X1CA 各牌号鋼磨削发热进行过研究。

按下列公式計算傳入零件的热量:

$$Q = (W_k + W_m + W_o) \Delta T,$$

式中 Q ——傳入零件的总热量, 微卡;

W_k ——測热器的热特性, 微卡/度;

$$W_k = m_k c_k + m_{np} c_{np} + m_{sc} c_{sc} + m_a c_a;$$

W_m ——溫度計的热特性, 微卡/度;

$$W_m = m_p c_p + m_c c_c + \frac{m_c m_l n_{oep}}{l_{boom}} c_e;$$

W_o ——試样的热特性, 微卡/度;

$$W_o = m_o c_o;$$

ΔT ——溫度落差, 度;

$$\Delta T = T_2 - T_1;$$

$m_k, m_{np}, m_{sc}, m_a, m_p, m_c, m_{cm}, m_o$ ——測热器、夹具、液体、攪拌器、溫度計的水銀、溫度計的玻璃管、溫度計的芯杆、試样的质量, 克;

$c_k, c_{np}, c_{sc}, c_a, c_p, c_c, c_o$ ——測热器、夹具、液体、攪拌器、水銀、玻璃、試样的比热, 微卡/度;

$l_{n o e p}$ ——溫度計浸入測热器的长度, 毫米;

l_{boom} ——溫度計全长, 毫米;

T_1 ——初始溫度, 度;

T_2 ——終了溫度, 度。

測热試驗的結果列于表 1。利用所得的数据, 可以对被加工零件的溫度場进行計算。有时还必須了解通过已被磨去材料的单位体积上的热量, 此数据列于表 2。

表 1

| 被試驗 鋼料 | 切削深 度 (毫米) | 砂輪特 性 | | | | | |
|---|------------------|------------|-----------|------------|------------|------------|-------------|
| | | Φ46 CTK | Φ46 CK | Φ46 CMK | Φ60 CMK | Φ80 CMK | Φ100 CMK |
| 加热工件向，通过单位被加工表面 的有效热强度，微卡/厘米 ² ·秒 | | | | | | | |
| ЭИ437 (合金) | 0.01 | 7.744 | 7.125 | 6.530 | 5.840 | 5.510 | 5.200 |
| | 0.03 | 22.027 | 20.729 | 19.100 | 17.510 | 16.210 | 15.600 |
| | 0.05 | 36.280 | 33.681 | 31.350 | 29.200 | 27.230 | 25.940 |
| 45号鋼 | 0.01 | 10.271 | 8.986 | 7.830 | 6.500 | 5.860 | 5.210 |
| | 0.03 | 28.246 | 24.91 | 22.200 | 19.540 | 18.230 | 16.940 |
| | 0.05 | 47.604 | 41.079 | 36.560 | 33.870 | 31.260 | 28.470 |
| 18Х11ВА | 0.01 | 9.640 | 8.997 | 8.920 | 7.610 | 6.970 | 6.340 |
| | 0.03 | 24.279 | 26.991 | 25.190 | 24.110 | 21.570 | 19.040 |
| | 0.05 | 46.275 | 44.980 | 43.600 | 39.960 | 35.530 | 31.400 |
| 30Х1СА | 0.01 | 9.019 | 8.373 | 7.670 | 6.980 | 6.340 | 5.740 |
| | 0.03 | 25.768 | 24.477 | 23.010 | 20.360 | 19.090 | 17.800 |
| | 0.05 | 43.806 | 41.226 | 38.700 | 36.020 | 33.080 | 30.540 |
| ИИХ15 (正火的) | 0.01 | 8.353 | 7.800 | 7.380 | 6.560 | 5.910 | 4.720 |
| | 0.03 | 25.703 | 23.126 | 22.320 | 19.700 | 17.070 | 14.440 |
| | 0.05 | 42.440 | 38.549 | 36.730 | 32.290 | 29.000 | 23.650 |
| ИИХ15 $R_c=62$ | 0.01 | 8.435 | 7.784 | 7.136 | 6.480 | 5.170 | 4.540 |
| | 0.03 | 24.657 | 22.055 | 20.760 | 16.200 | 15.560 | 12.975 |
| | 0.05 | 40.230 | 37.624 | 33.740 | 31.120 | 25.900 | 22.060 |

附注：試驗是在砂輪速度为30米/秒，工件速度为8米/分的条件下进行的。

表 2

| 被試驗的 鋼料 | 在不同切削深度下，磨去 1毫米 ³ 金屬時，傳入零 件的熱量(微卡/毫米 ³) | | 被試驗的 鋼料 | 在不同切削深度下，磨去 1毫米 ³ 金屬時，傳入零 件的熱量(微卡/毫米 ³) | |
|------------|--|------|------------|--|-------|
| | ЭИ437(合金) | 45号鋼 | | 30Х1СА | ИИХ15 |
| ЭИ437(合金) | 10.7 | 11.0 | 30Х1СА | 12.0 | 11.5 |
| 45号鋼 | 11.0 | 11.5 | ИИХ15 | 11.5 | 11.5 |
| 18Х11ВА | 13.5 | — | — | — | — |

附注：1. 試驗是在砂輪速度为30米/秒，工件速度为8米/分、砂輪特性为Φ46CMK的条件下进行的。

2. 切削深度在0.01到0.05毫米間变化，每次变化量为0.01毫米。

选自《Станки и инструмент》№8, 1957г.

平磨时被加工金属内的温度场

A. B. 波德杰、H. H. 諾維柯夫、B. E. 罗金諾夫

在編制机械加工的工艺规程时，經常需要考慮在切削过程中产生的热現象。

在个别情況下，譬如，为了确定加工誤差、零件表面层的殘余应力、檢驗仪器的示度修正量等，經常都要进行相应的热計算。

这种計算方法可以根据对溫度的空間-時間分布的研究來制訂，亦即用数学方法将溫度場作为座标和時間的溫度函数來加以确定：

$$T = f(x, y, z, \tau), \quad (1)$$

式中 T ——溫度， $^{\circ}\text{C}$ ；

x, y, z ——零件点的座标，厘米；

τ ——時間，秒。

表示溫度場各參數关系的导热微分方程有如下形式：

$$\frac{\partial T}{\partial \tau} = \alpha \left(-\frac{\partial^2 T}{\partial x^2} \right) + \left(-\frac{\partial^2 T}{\partial y^2} \right) + \left(-\frac{\partial^2 T}{\partial z^2} \right), \quad (2)$$

式中 $\alpha = \frac{\lambda}{c\gamma}$ ——导溫系数，它表示在非靜止過程中，使溫度趋向均匀的速度，厘米 2 /秒；

λ ——导热系数，卡/厘米·秒· $^{\circ}\text{C}$ ；

c ——比热，卡/克· $^{\circ}\text{C}$ ；

γ ——比重，克/厘米 3 。

解这个方程，就是要在考慮到热過程的給定边界条件

下，求出每一时刻在被加工制件任意点上的温度分布情况。

但是，由于把固体内部热分布速度为无限大的假设，作为推导导热微分方程（2）的基础，所以必须对零件内的温度场作实验研究。在此项研究时，采用了如图1所示的简单的装置。该装置的夹具1固定在平面磨床的磁力平台上，并用螺钉3将试样2

固定在上面。热电偶的电极4用电容焊接法焊在试样上[●]。热电偶的末端插入夹布胶木制的支架5内。热电偶的冷端放在恒温器6内，恒温器内的温度利用准确度达0.1°的温度计7控制。热电偶与示波仪的振荡器接通。试验

时，使用了M110-2型八线示波仪。八线示波仪由于利用灵敏度极高的振荡器和考铜制的热电偶电极，故可以不用放大器将其接通。利用接触器8接通电路的方法，测定切削开始和终了，以及砂轮中心经过热电偶的时刻。电源是由电池9供应的。

为了及时地记录工作过程，使用了灵敏度低的振荡器。该振荡器通过降压变压器与电路接通。试验装置的电路图示

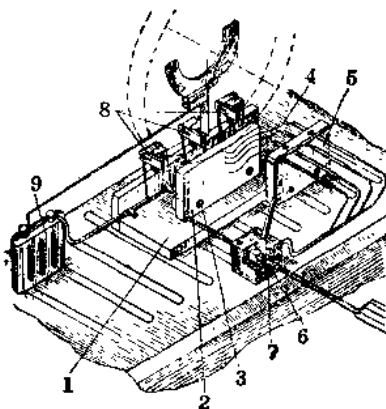


图 1

● A. B. 波得杰、H. H. 諾維柯夫和B. E. 罗金諾夫，研究温度场对热电偶电极的固定方法，《Станки и инструменты》 №1, 1957г.

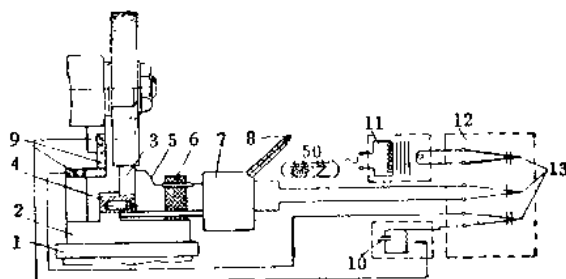


图 2

1—磁力平台；2—夹具；3—試樣；4—緊固螺釘；5—热電偶的電極；6—夾布膠木支架；7—恒溫器；8—溫度計；9—接觸器；10—电池；11—接通振蕩器電路用的降壓變壓器（時間指示器）；12—示波儀；13—振蕩器。

于图 2，利用上述设备可以对深度在0.05毫米以上($y > 0.05$ 毫米)的溫度場进行研究。在此深度的区域内，焊有直徑为0.1毫米的热电偶电极。直徑更小的电极由于焊接太复杂，而不能采用。

为了研究切削区 ($y = 0$) 内的溫度場，还需要采用其他一些方法。有些研究人員采用間接法确定切削区内的溫度——根据极薄的边界层內的組織变化，J. B. 阿尔德苏洛尔、B. И. 科什切斯基、E. H. 馬斯洛夫、M. H. 斯貝兰斯卡娅、A. Г. 斯貝克多尔和Г. H. 西道洛夫等人都采用过这种方法。这些作者的研究表明，切削区内的溫度达到 $A\alpha_3$ 点，而且甚至接近于被加工材料的熔点。但是，利用間接法得到的数据，最好再用直接測量法加以驗証。

本文叙述了确定平磨时切削区内溫度的方法。按照此方法，热电偶不是装在零件內，而是装在砂輪內。采用这种方法时，破坏零件中热流的現象可以完全避免。

图3是一种供研究用的試驗裝置簡圖。在砂輪1內鑲有鉻鎳-考銅制的热电偶电极4。电极的一端引出，并焊在集流器的銅环5上。热电偶的电极用电容焊接法焊住。借銅电刷7将热电动势傳給示波仪3的振蕩器2。振蕩器的自振频率应入于被研究过程的频率。

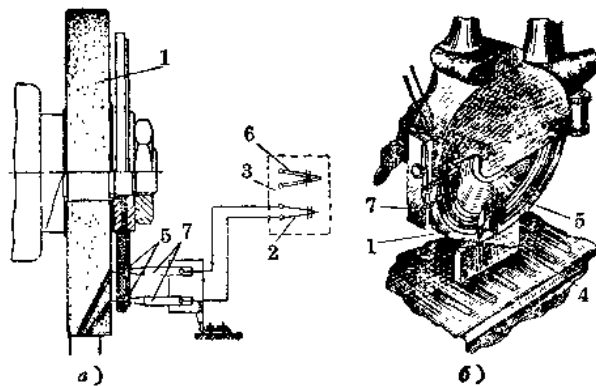


图 3

在作这些实验时，还使用了MPO-2型八綫示波仪，它利用可不带放大器的灵敏度相当高的振蕩器接通。实验过程利用频率为500赫芝的指示器6及时记录下来。

为了将热电偶装在砂輪中，在砂輪上钻有两个并列的直徑为2~3毫米的斜孔。这两个孔用一般钻头，以低轉速钻出。将电极插入孔内，直到从砂輪周边的孔口中露出为止，然后用酚醛塑胶清漆混以与砂輪性质相同的砂輪粉，填滿电极与孔之間的間隙，使电极在孔内堵住。此后，将砂輪放在电炉中，在 $T=200^{\circ}$ 的溫度烘干3~4小时。砂輪的强度按相应的說明书进行試驗。

用这种設備，記錄了磨削3H437、3H617合金，以及

18ХГВА、30ХГСА、ЦХ15和45号钢时，切削区内的温度。研究得出的特性示波图示于图4。该图是利用1,000毫米/秒的快速胶卷摄取的。读示波图时可需利用图5中绘出的校准线图。该线图是根据B.II.布莱勃拉任斯基提出的方法绘制的。

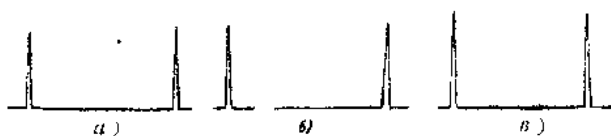


图 4

a—ЭИ437合金; *b*—30ХГСА钢; *c*—45号钢。

实验数据表明：切削区内的温度已达到被加工材料的熔点。

利用上述设备对切削区内温度所作的研究，以及对被加工零件温度场的研究都说明：可以利用苏联科学院通讯院士H.H.雷卡林提出的对焊接用的热过程计算方程[●]，对切削加工时的温度场进行解析计算。

雷卡林对具有绝热边界的活动线热源所提出的方程如下：

$$T(y, \tau) = \frac{q}{\sqrt{\pi \lambda \gamma \tau}} \exp\left(-\frac{y^2}{4\tau} - b\tau\right), \quad (3)$$

式中 $T(y, \tau)$ ——在坐标为 y 的零件点上任意时刻 τ 的温度， $^{\circ}\text{C}$ ；

q ——热源强度，卡/厘米²；

● B.II. 布莱勃拉任斯基，热的测量技术及仪表，苏联国家动力出版社，莫斯科，1953年版。

● H.II. 黑加林，焊接热过程的计算，苏联机械工业出版社，1951年版。

- λ —— 导热系数, 卡/厘米·秒·°C;
 c —— 比热, 卡/度;
 γ —— 比重, 克/厘米³;
 τ —— 时间, 秒;
 y —— 被研究点的座标, 厘米;
 b —— 温度传播系数, ¹/秒;
 α —— 导温系数, 厘米³/秒。

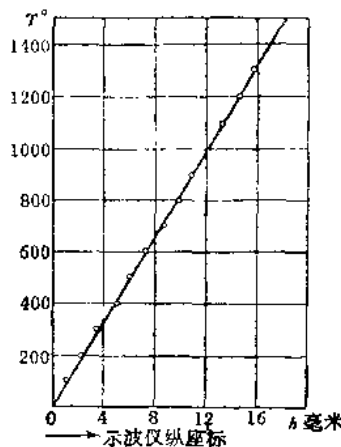


图 5

为了计算切削区内的温度, 使 $y = 0$ 和时间为 τ , 这是在砂轮与零件相接触的弧度上热源作用延续的时间, 则方程式为:

$$T(0, \tau) = \frac{q}{\sqrt{\pi \lambda c \gamma \tau}} e^{-b^2 \tau} \quad (4)$$

热源强度 q 的数据可用测热法求得。

实验和计算结果列于表和曲线图中 (图 6, 3M 437 合



| 被試驗的材料 | 溫度 °C | | |
|---------|-------|----------------|----------------|
| | 熔点 | 实验得出的 切削区温度 | 計算得出的 切削区温度 |
| 合金ЭИ437 | 1330 | 1325 | 1330 |
| 合金ЭИ617 | 1320 | 1315 | 1315 |
| 鋼18ХНВА | 1460 | 1460 | 1460 |
| 鋼30ХГСА | 1380 | 1370 | 1385 |
| 鋼1Х15 | 1300 | 1315 | — |
| 鋼45 | 1490 | 1460 | 1500 |

附注：1.磨削所用的砂輪是Φ46CMK，采用无冷却切削，砂輪速度 $v_{kp}=30$ 米/秒，进给量 $s_{ap}=0.025$ 毫米/轉。

2.表中的数据是20~25次测量的平均值。

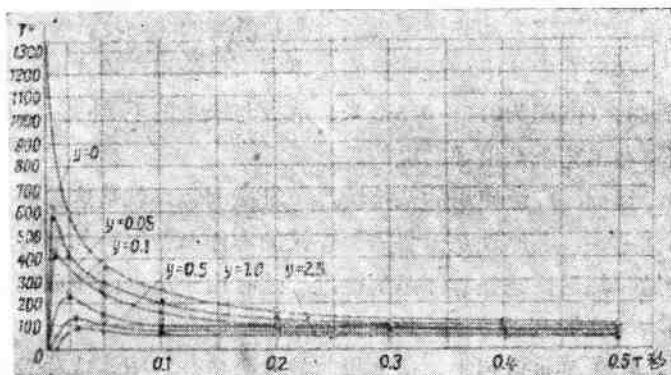


图 6

金)。带黑点的曲线是通过实验得出的，带圆圈的曲线是通过解析计算得出的。实验表明，两者结果的吻合令人十分满意。这说明完全可以利用解析方法进行切削时的热计算。

选自《Станки и инструмент》№10, 1957 г.

研究溫度場時熱電偶電極 的固定方法

A. B. 波德杰、B. E. 羅金諾夫、H. H. 諾維柯夫

研究切削區的溫度場時，通常總是使用熱電偶。使用半人
工的熱電偶時，其最大困難是如何把熱電偶電極固定在基體
金屬上。固定方法的選擇決定著測量溫度的準確度。

在現有方法中，最可靠的是焊接。但是用氣焊或電弧焊
將細的（直徑為0.1~0.5毫米）電極與笨重的毛料焊在一起，在工藝上是難以實現的。

目前，廣泛使用的是接觸焊。對接電容焊就是這種焊接
方法之一。其原理是：將需要焊接的零件與帶電荷的電容器
接通，然後使這些零件迅速接近，這時由於放電而生成的熱
使接觸處的金屬熔化，從而彼此緊壓和焊在一起。

圖1是可以用於焊接電極的放電設備線路圖。這種設備
可以把細的（0.1~0.5毫米）熱電偶電極焊在笨重的試樣
上。放電裝置是一個電容器組6。每個電容器的電容量是30
微法。電容器利用功率為6.3瓩，電壓為120伏特的直流發
電機1充電。電容器的總電容量是3000微法。

為了記錄電壓，裝有一個MII型伏特表7。變阻器4用以
控制電流 $I = 1.5$ 安培和電阻 $R = 130$ 歐姆，並調整成使放電裝
置所輸出的電壓為不超過65伏特的安全電壓。焊接時的電壓
為15~50伏特。